

Theta Vacua

René Araneda Gysling

Mayo 2017

- 1 Introducción.
 - “Toy Model” para un Instanton.

Esquema de Presentación

- 1 Introducción.
 - “Toy Model” para un Instanton.
- 2 Teoría de Yangs-Mills y Homotopía.
 - Clasificación de Homotopía.

Esquema de Presentación

- 1 Introducción.
 - “Toy Model” para un Instanton.
- 2 Teoría de Yangs-Mills y Homotopía.
 - Clasificación de Homotopía.
- 3 Instantones.

Esquema de Presentación

- 1 Introducción.
 - “Toy Model” para un Instanton.
- 2 Teoría de Yangs-Mills y Homotopía.
 - Clasificación de Homotopía.
- 3 Instantones.
- 4 Formulación θ -vacua.

Esquema de Presentación

- 1 Introducción.
 - “Toy Model” para un Instanton.
- 2 Teoría de Yangs-Mills y Homotopía.
 - Clasificación de Homotopía.
- 3 Instantones.
- 4 Formulación θ -vacua.
- 5 Referencias:
Coleman S. “Aspect of symmetry”, Rajamaran R. “Solitons and Instantons”,
Walter D. and Martin R. “Lectures Notes in Physics”.

- Un Instantón es una solución clásica de una teoría de campo Euclídea con una acción finita y no nula.

- Un Instantón es una solución clásica de una teoría de campo Euclídea con una acción finita y no nula.
- Estas soluciones son las dominantes en la amplitud de dispersión del vacío a vacío,

$$Z \equiv \langle 0|0 \rangle \propto \int \mathcal{D}\phi e^{-S[\phi, \partial_\mu \phi]},$$

- Un Instantón es una solución clásica de una teoría de campo Euclídea con una acción finita y no nula.
- Estas soluciones son las dominantes en la amplitud de dispersión del vacío a vacío,

$$Z \equiv \langle 0|0 \rangle \propto \int \mathcal{D}\phi e^{-S[\phi, \partial_\mu \phi]},$$

- Su nombre ('t Hooft) conjuga dos palabras, soliton '-on' e instante '-instant'

- Un Instantón es una solución clásica de una teoría de campo Euclídea con una acción finita y no nula.
- Estas soluciones son las dominantes en la amplitud de dispersión del vacío a vacío,

$$Z \equiv \langle 0|0 \rangle \propto \int \mathcal{D}\phi e^{-S[\phi, \partial_\mu \phi]},$$

- Su nombre ('t Hooft) conjuga dos palabras, soliton '-on' e instante '-instant'
- Nos permiten entender fenómenos en teorías de campos cuánticos análogos a penetración de barrera potencial.

“Toy Model” para un Instanton

- En modelos simples de mecánica de partículas podemos ver que un Instanton, en el límite semiclásico $\hbar \rightarrow 0$, entrega la misma información que el método de WKB, donde

$$|T(E)| = \exp\left\{-\frac{1}{\hbar} \int_{x_1}^{x_2} dx [2(V - E)]^{1/2} [1 + \mathcal{O}(\hbar)]\right\},$$

es la amplitud de transición de una partícula con energía E sobre un potencial V .

“Toy Model” para un Instanton

- En modelos simples de mecánica de partículas podemos ver que un Instanton, en el límite semiclásico $\hbar \rightarrow 0$, entrega la misma información que el método de WKB, donde

$$|T(E)| = \exp\left\{-\frac{1}{\hbar} \int_{x_1}^{x_2} dx [2(V - E)]^{1/2} [1 + \mathcal{O}(\hbar)]\right\},$$

es la amplitud de transición de una partícula con energía E sobre un potencial V .

- Sabemos que la matriz de transición puede ser escrita en espacio Euclídeo, $iS = -S$, como

$$\langle x_f | e^{-HT/\hbar} | x_i \rangle = \mathcal{N} \int [dx] e^{-S/\hbar},$$

donde en $\hbar \rightarrow 0$ la mayor contribución se obtiene de S mínimo.

“Toy Model” para un Instanton

- Supongamos un sistema unidimensional

$$H = \frac{p^2}{2} + V(x),$$

tal que perturbativamente encontramos,

$$\langle x_f | e^{-HT/\hbar} | x_i \rangle = \mathcal{N} \int [dx] e^{-S(\bar{x})/\hbar} \left[\det(-\partial_t^2 + V''(\bar{x})) \right]^{\frac{1}{2}}$$

donde \bar{x} minimiza la acción ($\frac{\delta S}{\delta \bar{x}} = 0$).

“Toy Model” para un Instanton

- Supongamos un sistema unidimensional

$$H = \frac{p^2}{2} + V(x),$$

tal que perturbativamente encontramos,

$$\langle x_f | e^{-HT/\hbar} | x_i \rangle = \mathcal{N} \int [dx] e^{-S(\bar{x})/\hbar} \left[\det(-\partial_t^2 + V''(\bar{x})) \right]^{\frac{1}{2}}$$

donde \bar{x} minimiza la acción ($\frac{\delta S}{\delta \bar{x}} = 0$).

- Por otro lado,

$$\langle x_f | e^{-HT/\hbar} | x_i \rangle = \sum_n e^{-E_n T/\hbar} \langle x_f | n \rangle \langle n | x_i \rangle,$$

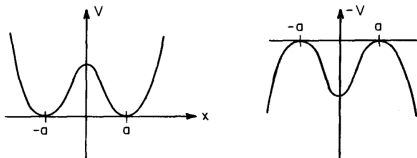
donde $\sum_n |n\rangle \langle n| = \mathbb{1}$ y $H|n\rangle = E|n\rangle$.

“Toy Model” para un Instanton

- En el límite $T \rightarrow \infty$, donde $x(-\infty) = x_i$ y $x(\infty) = x_f$, podemos identificar E_0 ($< E_1 < E_2 \cdots < E_n$) con el resultado de $\det(-\partial_t^2 + V''(\bar{x}))$.

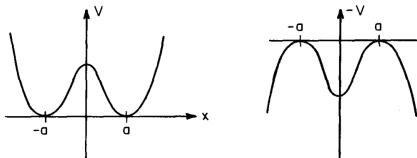
“Toy Model” para un Instanton

- En el límite $T \rightarrow \infty$, donde $x(-\infty) = x_i$ y $x(\infty) = x_f$, podemos identificar $E_0 (< E_1 < E_2 \cdots < E_n)$ con el resultado de $\det(-\partial_t^2 + V''(\bar{x}))$.
- Consideremos el caso del potencial de doble muralla:



“Toy Model” para un Instanton

- En el límite $T \rightarrow \infty$, donde $x(-\infty) = x_i$ y $x(\infty) = x_f$, podemos identificar $E_0 (< E_1 < E_2 \cdots < E_n)$ con el resultado de $\det(-\partial_t^2 + V''(\bar{x}))$.
- Consideremos el caso del potencial de doble muralla:



- Tenemos dos soluciones para x que minimizan S , $\bar{x} = -a$ y $\bar{x} = a$, por lo tanto una degenerancia en E_0 , $\langle -a | e^{-HT/\hbar} | -a \rangle = \langle a | e^{-HT/\hbar} | a \rangle$.

“Toy Model” para un Instanton

- Existe una tercera solución que corresponde al Instanton. Esta es empezar en $-a$ y terminar en a , sólo posible cuando $E = \frac{1}{2} \left(\frac{d\bar{x}}{dt} \right)^2 - V(\bar{x}) = 0$,

$$\Rightarrow t = t_1 + \int_{-a}^a dx (2V)^{-\frac{1}{2}}.$$

“Toy Model” para un Instanton

- Existe una tercera solución que corresponde al Instanton. Esta es empezar en $-a$ y terminar en a , sólo posible cuando $E = \frac{1}{2} \left(\frac{d\bar{x}}{dt} \right)^2 - V(\bar{x}) = 0$,

$$\Rightarrow t = t_1 + \int_{-a}^a dx (2V)^{-\frac{1}{2}}.$$

- Con este tipo de solución tenemos ahora dos autoestados de baja energía con

$$E_{\pm} = \frac{1}{2} \hbar w \pm \hbar K e^{-S_0/\hbar},$$

donde $w = v''(\bar{x})$ y $S_0 = \int_{-a}^a dx (2V)^{\frac{1}{2}}$.

“Toy Model” para un Instanton

- Existe una tercera solución que corresponde al Instanton. Esta es empezar en $-a$ y terminar en a , sólo posible cuando $E = \frac{1}{2} \left(\frac{d\bar{x}}{dt} \right)^2 - V(\bar{x}) = 0$,

$$\Rightarrow t = t_1 + \int_{-a}^a dx (2V)^{-\frac{1}{2}}.$$

- Con este tipo de solución tenemos ahora dos autoestados de baja energía con

$$E_{\pm} = \frac{1}{2} \hbar w \pm \hbar K e^{-S_0/\hbar},$$

donde $w = v''(\bar{x})$ y $S_0 = \int_{-a}^a dx (2V)^{\frac{1}{2}}$.

- La degenerancia es rota por una tunelamiento de la barrera proporcional a la amplitud de transición

$$E_+ - E_- = 2\hbar K e^{-S_0/\hbar} = 2\hbar K |T(E)|.$$

Teoría de Yangs-Mills y Homotopía

- El caso más simple de una teoría de gauge no-abeliana es la teoría de gauge $SU(2)$. Esta teoría definida en el espacio Euclideo \mathbb{R}^4 , cuando no consideramos campos de materia, tiene una acción

$$S = \frac{1}{2} \int d^4x \operatorname{Tr} [F_{\mu\nu} F_{\mu\nu}],$$

en términos del tensor de campo

$$F_{\mu\nu} = g \frac{\sigma^a}{2i} F_{\mu\nu}^a = \partial_\mu A_\nu - \partial_\nu A_\mu + [A_\mu, A_\nu].$$

Aquí A_μ es la representación matricial del campo de gauge $A_\mu^a(x)$ con $a = 1, 2, 3$,

$$A_\mu(x) \equiv g T^a A_\mu^a = g \frac{\sigma^a}{2i} A_\mu^a(x),$$

donde σ^a son las matrices de Pauli.

- Las ecuaciones de campo derivadas de esta acción son:

$$D_\mu F_{\mu\nu} \equiv \partial_\mu F_{\mu\nu} + [A_\mu, F_{\mu\nu}] = 0.$$

- Las ecuaciones de campo derivadas de esta acción son:

$$D_\mu F_{\mu\nu} \equiv \partial_\mu F_{\mu\nu} + [A_\mu, F_{\mu\nu}] = 0.$$

- Bajo una transformación de gauge

$$\begin{aligned} A_\mu &\rightarrow A'_\mu = \Omega A_\mu \Omega^{-1} + \Omega \partial_\mu \Omega^{-1}, \\ F_{\mu\nu} &\rightarrow F'_{\mu\nu} = \Omega F_{\mu\nu} \Omega^{-1}, \end{aligned}$$

tanto la acción como las ecuaciones de campo son invariantes.

- Las ecuaciones de campo derivadas de esta acción son:

$$D_\mu F_{\mu\nu} \equiv \partial_\mu F_{\mu\nu} + [A_\mu, F_{\mu\nu}] = 0.$$

- Bajo una transformación de gauge

$$\begin{aligned} A_\mu &\rightarrow A'_\mu = \Omega A_\mu \Omega^{-1} + \Omega \partial_\mu \Omega^{-1}, \\ F_{\mu\nu} &\rightarrow F'_{\mu\nu} = \Omega F_{\mu\nu} \Omega^{-1}, \end{aligned}$$

tanto la acción como las ecuaciones de campo son invariantes.

- Con funciones $\Omega(x)$ matrices de 2×2 que representan el espacio $SU(2)$.

- Las ecuaciones de campo derivadas de esta acción son:

$$D_\mu F_{\mu\nu} \equiv \partial_\mu F_{\mu\nu} + [A_\mu, F_{\mu\nu}] = 0.$$

- Bajo una transformación de gauge

$$\begin{aligned} A_\mu &\rightarrow A'_\mu = \Omega A_\mu \Omega^{-1} + \Omega \partial_\mu \Omega^{-1}, \\ F_{\mu\nu} &\rightarrow F'_{\mu\nu} = \Omega F_{\mu\nu} \Omega^{-1}, \end{aligned}$$

tanto la acción como las ecuaciones de campo son invariantes.

- Con funciones $\Omega(x)$ matrices de 2×2 que representan el espacio $SU(2)$.
- Acción finita \Rightarrow definir al campo A_μ no-divergente e imponer que $F_{\mu\nu} \rightarrow 0$, sobre la superficie S_∞^3 en $r = |\mathbf{x}| = (x_1^2 + x_2^2 + x_3^2 + x_4^2)^{1/2} = \infty$.

- Las ecuaciones de campo derivadas de esta acción son:

$$D_\mu F_{\mu\nu} \equiv \partial_\mu F_{\mu\nu} + [A_\mu, F_{\mu\nu}] = 0.$$

- Bajo una transformación de gauge

$$\begin{aligned} A_\mu &\rightarrow A'_\mu = \Omega A_\mu \Omega^{-1} + \Omega \partial_\mu \Omega^{-1}, \\ F_{\mu\nu} &\rightarrow F'_{\mu\nu} = \Omega F_{\mu\nu} \Omega^{-1}, \end{aligned}$$

tanto la acción como las ecuaciones de campo son invariantes.

- Con funciones $\Omega(x)$ matrices de 2×2 que representan el espacio $SU(2)$.
- Acción finita \Rightarrow definir al campo A_μ no-divergente e imponer que $F_{\mu\nu} \rightarrow 0$, sobre la superficie S_∞^3 en $r = |x| = (x_1^2 + x_2^2 + x_3^2 + x_4^2)^{1/2} = \infty$.
- La configuración más simple que implica una acción finita es cuando $F_{\mu\nu} = 0$, que se logra tomando $A_\mu = 0$ (condición de puro gauge).

- Esto se extiende para cualquier campo transformado A'_μ construido a partir de $A_\mu = 0$,

$$A'_\mu(x) = \Omega(x)\partial_\mu\Omega^{-1}(x).$$

- Esto se extiende para cualquier campo transformado A'_μ construido a partir de $A_\mu = 0$,

$$A'_\mu(x) = \Omega(x)\partial_\mu\Omega^{-1}(x).$$

- Podemos pedir que esta misma condición se cumpla en la superficie S_∞^3 ,

$$\lim_{r \rightarrow \infty} A_\mu(x) = (A'_\mu(x))_{S_\infty^3} = \Omega(\alpha_1, \alpha_2, \alpha_3)\partial_\mu\Omega^{-1}(\alpha_1, \alpha_2, \alpha_3),$$

donde α_j son las variables que parametrizan la superficie S_∞^3 .

Clasificación de homotopía

- Existe un número infinito de funciones $\Omega(\alpha_1, \alpha_2, \alpha_3)$ que cumplen con la condición de borde anterior.

Clasificación de homotopía

- Existe un número infinito de funciones $\Omega(\alpha_1, \alpha_2, \alpha_3)$ que cumplen con la condición de borde anterior.
- Estas funciones pueden ser clasificadas por consideraciones de homotopía.

Clasificación de homotopía

- Existe un número infinito de funciones $\Omega(\alpha_1, \alpha_2, \alpha_3)$ que cumplen con la condición de borde anterior.
- Estas funciones pueden ser clasificadas por consideraciones de homotopía.
- $\Omega(\alpha_1, \alpha_2, \alpha_3)$ representa un mapa entre la superficie S_∞^3 y el grupo $SU(2)$, que es la superficie 3-dimensional S^3 de la esfera unitaria en 4 dimensiones.

Clasificación de homotopía

- Existe un número infinito de funciones $\Omega(\alpha_1, \alpha_2, \alpha_3)$ que cumplen con la condición de borde anterior.
- Estas funciones pueden ser clasificadas por consideraciones de homotopía.
- $\Omega(\alpha_1, \alpha_2, \alpha_3)$ representa un mapa entre la superficie S_∞^3 y el grupo $SU(2)$, que es la superficie 3-dimensional S^3 de la esfera unitaria en 4 dimensiones.
- Por lo tanto, existe un número infinito de mapas de S_∞^3 en S^3 .

Clasificación de homotopía

- Existe un número infinito de funciones $\Omega(\alpha_1, \alpha_2, \alpha_3)$ que cumplen con la condición de borde anterior.
- Estas funciones pueden ser clasificadas por consideraciones de homotopía.
- $\Omega(\alpha_1, \alpha_2, \alpha_3)$ representa un mapa entre la superficie S_∞^3 y el grupo $SU(2)$, que es la superficie 3-dimensional S^3 de la esfera unitaria en 4 dimensiones.
- Por lo tanto, existe un número infinito de mapas de S_∞^3 en S^3 .
- Se asocia a cada mapa un número entero que clasifica su homotopía; mapas asociados a un mismo entero pueden ser continuamente deformados entre si.

Clasificación de homotopía

- Existe un número infinito de funciones $\Omega(\alpha_1, \alpha_2, \alpha_3)$ que cumplen con la condición de borde anterior.
- Estas funciones pueden ser clasificadas por consideraciones de homotopía.
- $\Omega(\alpha_1, \alpha_2, \alpha_3)$ representa un mapa entre la superficie S_∞^3 y el grupo $SU(2)$, que es la superficie 3-dimensional S^3 de la esfera unitaria en 4 dimensiones.
- Por lo tanto, existe un número infinito de mapas de S_∞^3 en S^3 .
- Se asocia a cada mapa un número entero que clasifica su homotopía; mapas asociados a un mismo entero pueden ser continuamente deformados entre sí.
- Tenemos $\Pi_3(S(2)) = \Pi_3(S^3) = \mathbb{Z}$

Clasificación de homotopía

- En nuestro caso el entero que clasifica las funciones $U(\alpha_1, \alpha_2, \alpha_3)$ es el índice de Pontryagin (Número winding o de vueltas),

$$q \equiv \frac{g^2}{16\pi^2} \int d^4x \operatorname{Tr}[F_{\mu\nu}\tilde{F}_{\mu\nu}],$$

con $\tilde{F}_{\mu\nu} = \frac{1}{2}\epsilon_{\mu\nu\alpha\beta}F_{\alpha\beta}$ el dual del tensor de campo.

Clasificación de homotopía

- En nuestro caso el entero que clasifica las funciones $U(\alpha_1, \alpha_2, \alpha_3)$ es el índice de Pontryagin (Número winding o de vueltas),

$$q \equiv \frac{g^2}{16\pi^2} \int d^4x \operatorname{Tr}[F_{\mu\nu}\tilde{F}_{\mu\nu}],$$

con $\tilde{F}_{\mu\nu} = \frac{1}{2}\epsilon_{\mu\nu\alpha\beta}F_{\alpha\beta}$ el dual del tensor de campo.

- Esta cantidad es invariante de gauge y Lorentz, y no es considerada en la parte cinética de la acción porque es puramente una derivada total,

$$q = \frac{g^2}{8\pi G} \int d^4x \partial_\mu J^\mu,$$

donde $J^\mu = \epsilon^{\mu\nu\alpha\beta} \operatorname{Tr}[A_\nu \partial_\alpha A_\beta + \frac{2g}{3i} A_\nu A_\alpha A_\beta]$

Clasificación de homotopía

- En nuestro caso el entero que clasifica las funciones $U(\alpha_1, \alpha_2, \alpha_3)$ es el índice de Pontryagin (Número winding o de vueltas),

$$q \equiv \frac{g^2}{16\pi^2} \int d^4x \operatorname{Tr}[F_{\mu\nu}\tilde{F}_{\mu\nu}],$$

con $\tilde{F}_{\mu\nu} = \frac{1}{2}\epsilon_{\mu\nu\alpha\beta}F_{\alpha\beta}$ el dual del tensor de campo.

- Esta cantidad es invariante de gauge y Lorentz, y no es considerada en la parte cinética de la acción porque es puramente una derivada total,

$$q = \frac{g^2}{8\pi G} \int d^4x \partial_\mu J^\mu,$$

donde $J^\mu = \epsilon^{\mu\nu\alpha\beta} \operatorname{Tr}[A_\nu \partial_\alpha A_\beta + \frac{2g}{3i} A_\nu A_\alpha A_\beta]$

- Podemos demostrar que para los $A_\mu \rightarrow \Omega(\alpha_1, \alpha_2, \alpha_3) \partial_\mu \Omega^{-1}(\alpha_1, \alpha_2, \alpha_3)$ en S_∞^3 ,

$$q = n \quad \text{con } n \in \mathbb{Z}$$

- No es directo encontrar soluciones a las ecuaciones de campo de Yangs-Mills.

- No es directo encontrar soluciones a las ecuaciones de campo de Yangs-Mills.
- Otra forma de encontrar soluciones que minimizan la acción ($\delta S = 0$) y es usar la identidad

$$\int d^4x \operatorname{Tr}[(F_{\mu\nu} \mp \tilde{F}_{\mu\nu})^2] \geq 0.$$

- No es directo encontrar soluciones a las ecuaciones de campo de Yangs-Mills.
- Otra forma de encontrar soluciones que minimizan la acción ($\delta S = 0$) y es usar la identidad

$$\int d^4x \operatorname{Tr}[(F_{\mu\nu} \mp \tilde{F}_{\mu\nu})^2] \geq 0.$$

- Tomando la expansión del binomio, tal que

$$\begin{aligned}(F_{\mu\nu} \pm \tilde{F}_{\mu\nu})^2 &= F_{\mu\nu}F_{\mu\nu} \mp F_{\mu\nu}\tilde{F}_{\mu\nu} \mp \tilde{F}_{\mu\nu}F_{\mu\nu} + \tilde{F}_{\mu\nu}\tilde{F}_{\mu\nu} \\ &= F_{\mu\nu}F_{\mu\nu} + \frac{1}{2} [\delta_{\alpha\gamma}\delta_{\beta\phi} - \delta_{\alpha\phi}\delta_{\beta\gamma}] F_{\alpha\beta}F_{\gamma\phi} \mp 2\tilde{F}_{\mu\nu}F_{\mu\nu} \\ &= 2(F_{\mu\nu}F_{\mu\nu} \mp \tilde{F}_{\mu\nu}F_{\mu\nu}).\end{aligned}$$

- No es directo encontrar soluciones a las ecuaciones de campo de Yangs-Mills.
- Otra forma de encontrar soluciones que minimizan la acción ($\delta S = 0$) y es usar la identidad

$$\int d^4x \operatorname{Tr}[(F_{\mu\nu} \mp \tilde{F}_{\mu\nu})^2] \geq 0.$$

- Tomando la expansión del binomio, tal que

$$\begin{aligned}(F_{\mu\nu} \pm \tilde{F}_{\mu\nu})^2 &= F_{\mu\nu}F_{\mu\nu} \mp F_{\mu\nu}\tilde{F}_{\mu\nu} \mp \tilde{F}_{\mu\nu}F_{\mu\nu} + \tilde{F}_{\mu\nu}\tilde{F}_{\mu\nu} \\ &= F_{\mu\nu}F_{\mu\nu} + \frac{1}{2} [\delta_{\alpha\gamma}\delta_{\beta\phi} - \delta_{\alpha\phi}\delta_{\beta\gamma}] F_{\alpha\beta}F_{\gamma\phi} \mp 2\tilde{F}_{\mu\nu}F_{\mu\nu} \\ &= 2(F_{\mu\nu}F_{\mu\nu} \mp \tilde{F}_{\mu\nu}F_{\mu\nu}).\end{aligned}$$

- Es posible escribir

$$S = \int d^4x \operatorname{Tr}[F_{\mu\nu}F_{\mu\nu}] \geq \pm \frac{1}{2} \int d^4x \operatorname{Tr}[\tilde{F}_{\mu\nu}F_{\mu\nu}].$$

- Lo anterior es equivalente a escribir (Belavin, Tyupkin, Polyakov y Schwartz),

$$S \geq \frac{8\pi^2}{g^2} |Q|.$$

- Lo anterior es equivalente a escribir (Belavin, Tyupkin, Polyakov y Schwartz),

$$S \geq \frac{8\pi^2}{g^2} |Q|.$$

- Claramente configuraciones de anti-auto dualidad,

$$\tilde{F}_{\mu\nu} = \frac{1}{2} \epsilon_{\mu\nu\alpha\beta} F_{\alpha\beta} = \pm F_{\mu\nu},$$

implican un mínimo de la acción ($S = \frac{8\pi^2}{g^2} |Q|$).

- Lo anterior es equivalente a escribir (Belavin, Tyupkin, Polyakov y Schwartz),

$$S \geq \frac{8\pi^2}{g^2} |Q|.$$

- Claramente configuraciones de anti-auto dualidad,

$$\tilde{F}_{\mu\nu} = \frac{1}{2} \epsilon_{\mu\nu\alpha\beta} F_{\alpha\beta} = \pm F_{\mu\nu},$$

implican un mínimo de la acción ($S = \frac{8\pi^2}{g^2} |Q|$).

- Soluciones a la condición de auto dualidad son soluciones a las ecuaciones de campo y por lo tanto instantones.

Formulación del θ -vacua

- Instantones conectan vacíos clásicos de la teoría.

Formulación del θ -vacua

- Instantones conectan vacíos clásicos de la teoría.
- En el espacio de Minkowski las soluciones de vacío cumplen con $F_{\mu\nu}^{vac} = 0$

Formulación del θ -vacua

- Instantones conectan vacíos clásicos de la teoría.
- En el espacio de Minkowski las soluciones de vacío cumplen con $F_{\mu\nu}^{vac} = 0$
- Tomando el gauge temporal $A_0^a = 0$, tenemos una familia de soluciones determinada desde

$$A_i(\vec{x}) = -\frac{i}{g} \left(\partial_i \Omega(\vec{x}) \Omega^{-1}(\vec{x}) \right),$$

Formulación del θ -vacua

- Instantones conectan vacíos clásicos de la teoría.
- En el espacio de Minkowski las soluciones de vacío cumplen con $F_{\mu\nu}^{vac} = 0$
- Tomando el gauge temporal $A_0^a = 0$, tenemos una familia de soluciones determinada desde

$$A_i(\vec{x}) = -\frac{i}{g} \left(\partial_i \Omega(\vec{x}) \Omega^{-1}(\vec{x}) \right),$$

- Queremos $F_{\mu\nu}$ finito, entonces $\Omega(\vec{x}) \rightarrow 1$ cuando $|\vec{x}| \rightarrow \infty$. Esta condición exige que cualquier punto $x \in R^3 U\{\infty\}$ este identificado en $SU(2)$, es decir

$$R^3 U\{\infty\} \cong S^3.$$

Formulación del θ -vacua

- Nuevamente, existen infinitas funciones que cumplen con la condición asintótica anterior y que pueden ser agrupadas homotópicamente según un entero n ,

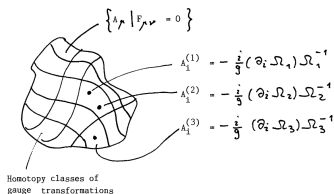
$$n \in \Pi_3(S^3) = \mathbb{Z}$$

Formulación del θ -vacua

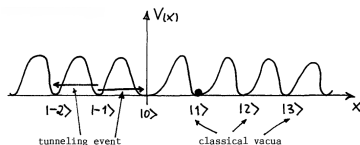
- Nuevamente, existen infinitas funciones que cumplen con la condición asintótica anterior y que pueden ser agrupadas homotópicamente según un entero n ,

$$n \in \Pi_3(S^3) = \mathbb{Z}$$

- Tenemos “ n -vacíos aparentes”



\Rightarrow



Formulación del θ -vacua

- Dentro de los vacíos de la teoría existe $n = 0$, esto corresponde al caso en que $\Omega(\vec{x}) = \Omega_0(\vec{x}) = \mathbb{1}$.

Formulación del θ -vacua

- Dentro de los vacíos de la teoría existe $n = 0$, esto corresponde al caso en que $\Omega(\vec{x}) = \Omega_0(\vec{x}) = \mathbb{1}$.
- Cualquier función $\Omega(\vec{x})$ que no puede ser continuamente deformada a la identidad tiene clase de homotopía $n \neq 0$.

Formulación del θ -vacua

- Dentro de los vacíos de la teoría existe $n = 0$, esto corresponde al caso en que $\Omega(\vec{x}) = \Omega_0(\vec{x}) = \mathbb{1}$.
- Cualquier función $\Omega(\vec{x})$ que no puede ser continuamente deformada a la identidad tiene clase de homotopía $n \neq 0$.
- Equivalente al caso Euclídeo la cantidad topológica que denota la clase de homotopía es la densidad

$$Q_T(t) = \frac{1}{16\pi^2} \int d^3\vec{x} J_0(\vec{x}, t) = n,$$

a t fijo y con $J_0 = \delta_{0\mu} J_\mu$.

- Asumiendo que $\vec{J} \rightarrow 0$ cuando $r \rightarrow \infty$ podemos relacionar Q_T con q ,

$$\begin{aligned} q &= \frac{1}{16\pi^2} \int_{-\infty}^{\infty} \int d^3\vec{x} \partial_{\mu} J^{\mu} = \frac{1}{16\pi^2} \int_{-\infty}^{\infty} \int d^3\vec{x} (\partial_0 J^0 + \partial_i J^i) \\ &= \frac{1}{16\pi^2} \int_{-\infty}^{\infty} dt \partial_0 \int d^3\vec{x} J_0 = Q_T(\infty) - Q_T(-\infty). \end{aligned}$$

- Asumiendo que $\vec{J} \rightarrow 0$ cuando $r \rightarrow \infty$ podemos relacionar Q_T con q ,

$$\begin{aligned} q &= \frac{1}{16\pi^2} \int_{-\infty}^{\infty} \int d^3\vec{x} \partial_{\mu} J^{\mu} = \frac{1}{16\pi^2} \int_{-\infty}^{\infty} \int d^3\vec{x} (\partial_0 J^0 + \partial_i J^i) \\ &= \frac{1}{16\pi^2} \int_{-\infty}^{\infty} dt \partial_0 \int d^3\vec{x} J_0 = Q_T(\infty) - Q_T(-\infty). \end{aligned}$$

- $\Rightarrow q = m - n \in \mathbb{Z}$.

- Asumiendo que $\vec{J} \rightarrow 0$ cuando $r \rightarrow \infty$ podemos relacionar Q_T con q ,

$$\begin{aligned} q &= \frac{1}{16\pi^2} \int_{-\infty}^{\infty} \int d^3\vec{x} \partial_\mu J^\mu = \frac{1}{16\pi^2} \int_{-\infty}^{\infty} \int d^3\vec{x} (\partial_0 J^0 + \partial_i J^i) \\ &= \frac{1}{16\pi^2} \int_{-\infty}^{\infty} dt \partial_0 \int d^3\vec{x} J_0 = Q_T(\infty) - Q_T(-\infty). \end{aligned}$$

- $\Rightarrow q = m - n \in \mathbb{Z}$.
- x_0 es el parametro de interpolación, quien conecta las soluciones $A_\mu(t = \pm\infty, \vec{x})$ a través de $A_\mu(x_0, \vec{x})$. Es decir, los Instantones conectan los “n-vacíos aparentes” en Minkowski (análogo a efecto tunel).

Formulación del θ -vacua

- En el espacio de Hilbert,

$$n \rightarrow |n\rangle$$

$$\Omega(\vec{x}) \rightarrow G : G|n\rangle = |n+1\rangle$$

$$\Rightarrow |n\rangle = G^n|0\rangle$$

$$Q_T \rightarrow \hat{Q}_T : Q_T|n\rangle = n|n\rangle$$

Formulación del θ -vacua

- En el espacio de Hilbert,

$$n \rightarrow |n\rangle$$

$$\Omega(\vec{x}) \rightarrow G : G|n\rangle = |n+1\rangle$$

$$\Rightarrow |n\rangle = G^n|0\rangle$$

$$Q_T \rightarrow \hat{Q}_T : Q_T|n\rangle = n|n\rangle$$

- El vacío $|n\rangle$ no es físico, pero a través de una transformación de Fourier lo llega a ser,

$$|\theta\rangle = \sum_n e^{in\theta} |n\rangle, \quad \theta \in [0, 2\pi].$$

Formulación del θ -vacua

- $|\theta\rangle$ es el vacío físico de la teoría (θ -vacua) que cumple con

$$G|\theta\rangle = \sum_n e^{in\theta}|n+1\rangle = e^{-i\theta}|\theta\rangle \quad \text{y} \quad \langle\theta|\theta'\rangle = 2\pi\delta(\theta - \theta')$$

Formulación del θ -vacua

- $|\theta\rangle$ es el vacío físico de la teoría (θ -vacua) que cumple con

$$G|\theta\rangle = \sum_n e^{in\theta}|n+1\rangle = e^{-i\theta}|\theta\rangle \quad \text{y} \quad \langle\theta|\theta'\rangle = 2\pi\delta(\theta - \theta')$$

- Los instantones rompen la degeneracia $E_n = 0$ de los "n-vacíos aparentes". El θ -vacua implica una energía $E(\theta)$ en términos de \mathcal{L}_{eff} .

Formulación del θ -vacua

- $|\theta\rangle$ es el vacío físico de la teoría (θ -vacua) que cumple con

$$G|\theta\rangle = \sum_n e^{in\theta}|n+1\rangle = e^{-i\theta}|\theta\rangle \quad \text{y} \quad \langle\theta|\theta'\rangle = 2\pi\delta(\theta - \theta')$$

- Los instantones rompen la degeneracia $E_n = 0$ de los "n-vacíos aparentes". El θ -vacua implica una energía $E(\theta)$ en términos de \mathcal{L}_{eff} .
- Esto viene de,

$$\begin{aligned}\langle\theta'|e^{-HT}|\theta\rangle &= \sum_{n,n'} \langle\theta'|n\rangle \langle n|e^{-HT}|n'\rangle \langle n'|\theta\rangle \\ &= \sum_n e^{-E_n T} \langle\theta|n\rangle \langle n|\theta'\rangle \\ \Rightarrow E_0 &= \lim_{T \rightarrow \infty} \frac{1}{T} \ln \left\{ \int_{-\infty}^{\infty} d\theta \frac{\langle\theta'|e^{-HT}|\theta\rangle}{\langle\theta'|0\rangle \langle 0|\theta\rangle} \right\}.\end{aligned}$$

Formulación del θ -vacua

- Por otro lado, como $T \rightarrow \infty$ y ya que $[H, G] = 0 \Leftrightarrow H = GHG^{-1}$,

$$\begin{aligned}\langle \theta' | e^{-HT} | \theta \rangle &= \sum_{n, m+n} e^{i(n\theta - m\theta' - n\theta')} \langle m+n | e^{-HT} | n \rangle \\ &= \sum_n e^{in(\theta - \theta')} \sum_m e^{-im\theta'} \langle m | e^{-HT} | 0 \rangle \\ &= 2\pi\delta(\theta - \theta') \sum_m e^{-im\theta'} \int [dA]_m e^{-\int d^4x \mathcal{L}},\end{aligned}$$

pero $q = m + n - n = m$, entonces

$$E_0 = - \lim_{T \rightarrow \infty} \frac{1}{T} \ln \left\{ 2\pi \int [dA] e^{-\int d^4x \mathcal{L}_{\text{eff}}} \right\},$$

con

$$\mathcal{L}_{\text{eff}} = \mathcal{L} + i\theta \frac{g^2}{16\pi^2} \text{Tr}[F_{\mu\nu} \tilde{F}_{\mu\nu}].$$

Gracias